

2. Веркин Б. И. Проблема долговечности металлов при низких температурах / Б. И. Веркин, И. М. Любарский, Н. М. Гринберг и др. // Космич. исслед. на Украине. – 1973. – Вып.1. – С. 14-22.
3. Прочность материалов и конструкций при криогенных температурах / В. А. Стрижало, Н. В. Филин, Б. А. Куранов и др. – К.: Наукова думка, 1988. – 240 с.
4. Ивщенко Л. И. Особенности изнашивания трибосопряжений в условиях трехмерного нагружения / Л. И. Ивщенко, В. В. Цыганов, И. М. Закиев // Трение и износ. – 2011. – Т. 32, № 1. – С. 500-509.
5. Ивщенко Л. И. Ускоренные испытания сложнагруженных деталей трибосопряжений / Л. И. Ивщенко, В. В. Цыганов, В. И. Черный // Вісник двигунобудування. – 2009. – № 1. – С. 150-154.
6. Запорожец В. В. Выбор критериев и синтез алгоритма оценки видов изнашивания / В. В. Запорожец, В. А. Бердинских, В. В. Варюхно // Трение и износ. – 1988. – Т. 9, № 6. – С. 975-984.
7. Тарасов Г. Ф. Термическая обработка сталей как фактор повышения их износостойкости при низких температурах / Г. Ф. Тарасов, А. И. Горбуля // Вестник Сибирского гос. аэрокосм. ун-та им. академика М. Ф. Решетнева. – 2005. – № 3. – С. 253-257.
8. Костецкий Б. И. О роли вторичных структур в формировании механизмов трения, смазочного действия и изнашивания / Б. И. Костецкий // Трение и износ. – 1980. – Т.1, № 4. – С. 622-638.
9. Игнатович С. Р. Оценка поврежденности поверхностного слоя материалов при циклических нагружениях методами наноиндентирования и наносклерометрии / С. Р. Игнатович, И. М. Закиев, Д. И. Борисов // Проблемы прочности. – 2006. – № 4. – С. 132-139.

УДК 536.24:621.791.55

**И.М. Кузьяев**, д-р техн. наук

**В.Н. Анисимов**, канд. техн. наук

ГВУЗ «Украинский государственный химико-технологический университет», г. Днепропетровск, Украина

## ИССЛЕДОВАНИЕ НЕИЗОТЕРМИЧЕСКИХ ПРОЦЕССОВ ДЛЯ УЗЛОВ ПОДШИПНИКОВ СКОЛЬЖЕНИЯ

*Рассмотрены неизотермические процессы, происходящие в процессе эксплуатации подшипников скольжения. Представлено решения для определения температурного поля и температурных напряжений в теле втулки, выполненной из полимерного материала. Решение для определения температурного поля в теле подшипника получено с использованием интегрального преобразования Лапласа. Температурные напряжения находились с учетом вязкоупругих свойств материала втулки подшипника. Разработаны программные блоки САПР для реализации полученных математических моделей с использованием математического пакета Mathcad.*

**Ключевые слова:** подшипник, температурное поле, напряжение, преобразование Лапласа.

*Розглянуто неізотермічні процеси, що відбуваються в процесі експлуатації підшипників ковзання. Представлено рішення для визначення температурного поля й температурних напружень у тілі втулки, виконаної з полімерного матеріалу. Рішення для визначення температурного поля в тілі підшипника отримано з використанням інтегрального перетворення Лапласа. Температурні напруження визначалися з урахуванням в'язкопружних властивостей матеріалу втулки підшипника. Розроблено програмні блоки САПР для реалізації отриманих математичних моделей з використанням математичного пакета Mathcad.*

**Ключові слова:** підшипник, температурне поле, напруження, перетворення Лапласа.

*Not isothermal processes occurring while in service of bearings of sliding are considered. It is presented decisions for definition of a temperature field and temperature pressure in a body of the plug executed from a polymeric material. The decision for definition of a temperature field in a bearing body is received with use of integrated transformation Laplace. Temperature pressure were taking into account viscoelastic properties of a material of the plug of the bearing. Program blocks SAPR are developed for realization of the received mathematical models with use of mathematical package Mathcad.*

**Key words:** the bearing, a temperature field, pressure, transformation Laplace.

**Постановка проблемы.** В подавляющем большинстве оборудования, имеющего вращательные элементы, используются подшипники скольжения, одним из основных элементов которых являются вкладыши или втулки, выполненные из антифрикционного материала. При этом данного типа подшипники могут работать в режиме жидкостного трения или без смазки. В последнем случае втулки изготавливаются из самосмазывающихся материалов, что значительно упрощает конструкцию подшипникового узла, устраняя конструктивные элементы, связанные с подачей и отводом смазывающихся материалов.

Основные условия функционирования подшипников скольжения с самосмазывающимися материалами связаны с тем, что в процессе скольжения возникают микроабра-

живные частицы, которые имеют способность высвободить твердую смазку из граничного слоя скольжения, внедренную в самосмазывающийся материал. При этом создается прочная пленка твердой смазки на сопрягаемых поверхностях. В процессе износа этой пленки при скольжении, обусловленном высокой скоростью движения или сторонними частицами, возникают дополнительные энергетические условия, приводящие к возрастанию износа, что, в свою очередь, приводит к высвобождению дополнительной порции сухой твердой смазки, вызывающей восстановление смазывающей пленки. Протекание процесса по данной схеме особую ценность имеет при эксплуатации оборудования в тяжелых условиях работы, а именно, при больших уровнях нагрузок и высоких температурных полях, возникающих как под воздействием внешних температурных полей, так и за счет сил трения в зоне контакта с вращающимися и неподвижными элементами подшипника скольжения. Поэтому особое значение при проектировании подшипников скольжения имеет оптимизация температурно-силовых факторов в соответствии с геометрическими параметрами и свойствами используемых рабочих элементов.

**Анализ публикаций.** Для описания неизоэнтальпических процессов, возникающих в подшипниковых узлах скольжения, следует воспользоваться уравнениями баланса тепловой энергии с соответствующими граничными условиями. При этом в зависимости от геометрической конфигурации рабочих элементов выбирается и соответствующая система координат. Как правило, рабочие элементы подшипников скольжения выполнены цилиндрической формы, значит и для построения математической модели следует воспользоваться цилиндрической системой координат. При этом для описания температурного поля в цилиндрических элементах при нестационарных режимах работы, выполнив необходимые допущения, приходим к уравнениям теплопереноса в таком виде [1-4]:

$$\rho \cdot C \cdot \frac{\partial T(r,t)}{\partial t} = \lambda \cdot \left( \frac{1}{r} \cdot \frac{\partial T(r,t)}{\partial r} + \frac{\partial^2 T(r,t)}{\partial r^2} \right), \quad (1)$$

где  $T(r,t)$  – функциональная зависимость температуры от радиуса  $r$  и времени  $t$ ;  $\rho$  – плотность материала втулки;  $C$ ,  $\lambda$  – коэффициенты соответственно теплоемкости и теплопроводности.

В работе [5], базируясь на уравнении (1), разработана математическая модель, позволяющая моделировать температурные поля в подшипниковом узле скольжения. При этом в качестве расчетной схемы принята трехслойная модель, в середине которой находится втулка. Параметры втулки, входящие в уравнение (1), обозначаются индексом  $p$ . Наружным и внутренним элементами данной модели будут корпус и вал, параметры которых обозначаются соответственно индексами  $c$  и  $s$ .

С целью определения зависимости температуры от параметров, входящих в уравнение (1), в явном виде следует выбрать соответствующие граничные условия по радиусу и начальное условие по времени.

Для втулки на внутренней границе, вследствие наличия сил трения между ней и валом, следует принять температурное условие второго рода, а именно:

$$\lambda_p \cdot \frac{\partial T_p}{\partial r} = q_{gr} \text{ при } r = Rp_{in}. \quad (2)$$

В выражении (2) введены такие обозначения:  $Rp_{in}$  – внутренний радиус втулки;  $q_{gr}$  – тепловой поток на границе раздела вал-втулка, который можно представить в нескольких видах (в зависимости от наличия и конструктивного исполнения системы охлаждения вала). Если вал имеет систему для охлаждения, например, вал выполнен с центральным отверстием для подвода хладагента, то тепловой поток на границе можно записать так:

$$q_{gr} = V_s \cdot f_{gr} \cdot P_{gr} - \frac{\lambda_s}{h_s} \cdot [T_p(Rp_{in}, t) - T_p(Rp_{in} - h_s, t)], \quad (3)$$

где  $f_{gr}$  – коэффициент трения между втулкой и поверхностью вала;  $P_{gr}$  – давление, развиваемое на границе раздела вал-втулка;  $h_s$  – толщина тела вала (разность между наружным и внутренним диаметрами вала);  $V_s$  – линейная скорость наружной поверхности вала.

При записи выражения (3) и входящих в него величин пренебрегается разницей между внутренним радиусом втулки и наружным радиусом вала ( $Rp_{in} = Rs_{ex}$ ). Кроме того, также принимается равенство между наружным диаметром втулки и внутренним диаметром вала ( $Rp_{ex} = Rc_{in}$ ).

Аналогичным образом можно, в случае наличия охлаждения, представить граничное условие и на наружной границе втулки, а именно:

$$\lambda_p \cdot \frac{\partial T_p}{\partial r} = q_{ex} \text{ при } r = Rp_{ex}, \quad (4)$$

где

$$q_{ex} = -\frac{\lambda_c}{h_c} \cdot [T_p(Rp_{ex}, t) - T_p(Rp_{ex} + h_c, t)]. \quad (5)$$

В последние два выражения введены такие обозначения:  $q_{ex}$  – тепловой поток, который отводится от наружной границы втулки;  $Rp_{ex}$  – наружный радиус втулки;  $h_c$  – толщина тела корпуса.

Если же конструктивное исполнение подшипниковых узлов не позволяет выполнить систему охлаждения вала, то большее количество тепла, выделившееся на границе раздела вал-втулка, будет накапливаться в этой зоне. Определенная часть тепла будет отводиться через торцевые поверхности вала и радиальную поверхность вала вне зоны установки подшипника. В таком случае внутреннюю поверхность втулки можно считать теплоизолированной и граничное условие (2) переписется так:

$$\lambda_p \cdot \frac{\partial T_p}{\partial r} = q'_{gr} \text{ при } r = Rp_{in}, \quad (2a)$$

где

$$q'_{gr} = V_s \cdot f_{gr} \cdot P_{gr} - q_{ot}. \quad (3a)$$

Величина  $q_{ot}$  представляет собой тепло, отводимое через торцевые поверхности вала и радиальную поверхность вала вне зоны установки подшипника.

Решение, как обычных дифференциальных уравнений, так и уравнений в частных производных типа (1) удобно находить с использованием операционного исчисления, основанного на интегральном преобразовании Лапласа [6-8].

Операционный метод решения задачи можно свести к следующим этапам:

– первый: от искомой функции (оригинала)  $f(t)$  переходят к функции изображения  $F(s)$ , при этом величина  $t$  соответствует действительности переменной, а  $s$  – в общем случае может быть и комплексной переменной;

– второй: над изображением  $F(s)$  выполняют операции, которые соответствуют заданным операциям над  $f(t)$  и получают операторное уравнение относительно  $F(s)$ . При этом операции над изображением оказываются значительно более простыми, например, дифференцирование оригинала соответствует умножению изображения на переменную  $s$ , а интегрирование – деление на  $s$  и т. п.;

– третий: полученное операторное уравнение решают относительно  $F(s)$ , что, как правило, сводится к простым алгебраическим действиям;

– четвертый: от найденного изображения  $F(s)$  переходят к оригиналу  $f(t)$ , который является искомой функцией.

Для перехода от оригинала к изображению в общем случае можно использовать такое выражение:

$$F(s) = \int_0^{\infty} e^{-s \cdot t} \cdot f(t) dt. \quad (6)$$

Чтобы осуществить обратный переход (от изображения к оригиналу) опять же в общем случае можно воспользоваться таким соотношением:

$$f(t) = \frac{1}{2 \cdot \pi \cdot i} \int_{a-i\infty}^{a+i\infty} e^{s \cdot t} \cdot F(s) ds, \quad (7)$$

где  $i$  – мнимая единица.

Для упрощения прямого и обратного переходов, чтобы каждый раз не пользоваться уравнениями (6) и (7), разработано большое количество теорем. Так, для прямого перехода от оригинала к изображению основной теоремой является теорема о дифференцировании оригинала, которая для производной  $n$ -й степени имеет вид:

$$f^n(t) \leftrightarrow s^n \cdot F(s) - s^{n-1} \cdot f(0) - s^{n-2} \cdot f'(0) - \dots - f^{(n-1)}(0), \quad (8)$$

где  $f(0)$  – начальное условие для искомой величины;  $f'(0)$ ,  $f^{(n-1)}(0)$  – начальные условия для производных от искомой величины, начиная от первой и заканчивая  $(n-1)$ .

Кроме того, для решения уравнения (1), с учетом прямого и обратного переходов, также используют такие теоремы:

– теорему умножения (теорему Бореля):

$$F(s) \cdot G(s) \leftrightarrow \int_0^t f(\tau) \cdot g(t-\tau) d\tau, \quad (9)$$

– вторую теорему разложения:

$$\frac{A(s)}{B(s)} \leftrightarrow \sum_{k=1}^n \frac{A(s_k)}{B'(s_k)} e^{s_k \cdot t}, \quad (10)$$

где  $s_k$  – значения полюсов;  $\leftrightarrow$  – двухсторонняя стрелка означает возможность взаимного перехода;  $B'(s_k) = \left. \frac{d}{ds} B(s) \right|_{s=s_k}$ .

**Цель статьи.** Получить математические модели, позволяющие моделировать не-изотермические процессы в узлах подшипников скольжения. Полученные уравнения должны позволить описывать температурные поля и температурные напряжения в теле подшипника с учетом его вязкоупругих свойств.

**Изложение основного материала.** Используя прямое преобразование Лапласа по времени для уравнения (1) с учетом выражения (8), получаем такое операторное уравнение:

$$\left( T^L \right)_{,r} + 1/r \cdot T^L_{,r} - s/a \cdot T^L = T_n/a, \quad (11)$$

где  $T^L$  – изображение температуры  $T(r, t)$ ;  $_{,r}$  – символ производной по координате  $r$ ;  $T_n$  – начальная температура рассматриваемого элемента;  $a$  – коэффициент теплопроводности ( $a = \lambda / (C \cdot \rho)$ ).

Уравнение (11) является одной из разновидностью уравнений Бесселя [8; 9], для данного случая его решение имеет следующий вид:

$$T^L = T_n/s + C_1 \cdot J_0(\sqrt{s/a_1} \cdot i \cdot r) + C_2 \cdot Y_0(\sqrt{s/a_1} \cdot i \cdot r), \quad (12)$$

где  $J_0$ ,  $Y_0$  – функции Бесселя соответственно первого и второго рода нулевого порядка;  $i$  – мнимая единица;  $C_1$  и  $C_2$  – константы интегрирования.

Выполняя соответствующие преобразования с учетом приведенных зависимостей, получено решение тепловой задачи для подшипникового узла в таком виде:

$$T(r, t) = T_n - Q_{gr} - Q_{ex}, \quad (13)$$

где

$$Q_{gr} = q_{gr} \cdot \frac{2 \cdot Rp_{in}}{\lambda_p} \cdot \sum_{k=1}^{\infty} \frac{C1_k(r)}{P_k^2 \cdot (2/P_k \cdot \psi1_k - \psi2_k)} \cdot \theta_k(t);$$

$$Q_{ex} = q_{ex} \cdot \frac{2 \cdot Rp_{in}}{\lambda_p} \cdot \sum_{k=1}^{\infty} \frac{C2_k(r)}{P_k^2 \cdot (2/P_k \cdot \psi1_k - \psi2_k)} \cdot \theta_k(t).$$

Комплексы, входящие в последние выражения, имеют вид:

$$\psi1_k = Y_1(P_k \cdot Rp_{ei}) \cdot J_1(P_k) - Y_1(P_k) \cdot J_1(P_k \cdot Rp_{ei}), \quad (14)$$

$$\psi2_k = Rp_{ei} \cdot \left[ \begin{matrix} Y_0(P_k \cdot Rp_{ei}) \cdot J_1(P_k) - \\ - Y_1(P_k) \cdot J_0(P_k \cdot Rp_{ei}) \end{matrix} \right] + \left[ \begin{matrix} Y_1(P_k \cdot Rp_{ei}) \cdot J_0(P_k) - \\ - Y_0(P_k) \cdot J_1(P_k \cdot Rp_{ei}) \end{matrix} \right], \quad (15)$$

$$C1_k(r) = J_1(P_k \cdot Rp_{ei}) \cdot Y_0(P_k \cdot Rp_{ri}) - Y_1(P_k \cdot Rp_{ei}) \cdot J_0(P_k \cdot Rp_{ri}), \quad (16)$$

$$C2_k(r) = Y_1(P_k) \cdot J_0(P_k \cdot Rp_{ri}) - J_1(P_k) \cdot Y_0(P_k \cdot Rp_{ri}), \quad (17)$$

$$\theta_k(t) = \exp(-Ct_k \cdot t) + Ct_k \cdot t - 1. \quad (18)$$

В уравнения (14) – (18) входят такие обозначения (не введенные ранее):  $J_1, Y_1$  – функции Бесселя соответственно первого и второго рода первого порядка;  $Rp_{ei} = Rp_{ex}/Rp_{in}$ ;  $Rp_{ri} = r/Rp_{in}$ ;  $Ct_k = a_p \cdot (P_k)^2 / Rp_{in}^2$ ;  $P_k$  – нули, которые определяются из выражения:

$$Y_1(Rp_{ei} \cdot P_k) \cdot J_1(P_k) - Y_1(P_k) \cdot J_1(Rp_{ei} \cdot P_k) = 0. \quad (19)$$

Определение нулей  $P_k$  по уравнению (19) для конкретных геометрических размеров подшипника приведено в программном блоке САПР-1. Графическое представление нулей изображено на рис. 1. Следует отметить, что как рисунке 1, так и все последующие рисунки, полученные в результате расчетов в программных блоках с использованием пакета Mathcad, дополнительно обрабатывались с помощью прикладного пакета Photoshop.

Программный блок САПР-1

Определение нулей  $P_k$  по уравнению (19)

$$Rp_{ex} := 12.5mm \quad Rp_{in} := 10mm$$

$$Rp_{ei} := \frac{Rp_{ex}}{Rp_{in}} \quad Rp_{ei} = 1.25 \quad s_k := 0,0.1..410$$

$$B(s_k) := Y_1(Rp_{ei} \cdot s_k) \cdot J_1(s_k) - Y_1(s_k) \cdot J_1(Rp_{ei} \cdot s_k)$$

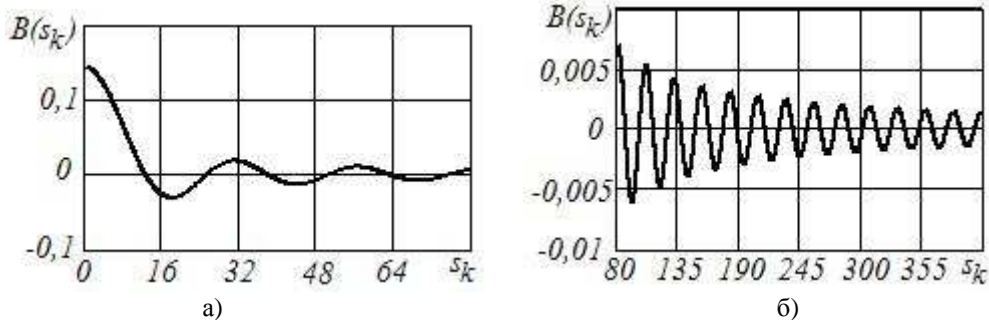


Рис. 1. Графическое определение нулей:  
 а – на начальном отрезке; б – на конечном отрезке

$$P_k := \begin{cases} P I_0 \leftarrow 4 \cdot \pi \\ \text{for } k \in 0..31 \\ \left| \begin{array}{l} P a \leftarrow P I_k \\ P_k \leftarrow \text{root}(B(P a), P a) \\ P I_{k+1} \leftarrow (k+2) \cdot 4 \cdot \pi \end{array} \right. \\ P \end{cases}$$

Начальные значения нулей

$P_k^T =$	0	1	2	3	4	5	6	7	8	9	
	0	12,59	25,14	37,71	50,27	62,84	75,40	87,97	100,53	113,1	125,67

Чтобы решить уравнение (13) с учетом соотношений (14) – (18), при выполнении условия (19), необходимо дополнительно определить температуры на границах втулки, а именно:  $Tp(Rp_{in}, t)$  и  $Tp(Rp_{ex}, t)$ . Для этого на основе выражения (13), при подстановке в него соответствующих граничных значений, можно представить такое соотношение в матричной форме:

$$\begin{bmatrix} Tp(Rp_{in}, t) \\ Tp(Rp_{ex}, t) \end{bmatrix} \times \begin{bmatrix} 1 - \frac{2 \cdot Rp_{in} \cdot \lambda_s}{h_s \cdot \lambda_p} \cdot Cv_1(t), & -\frac{2 \cdot Rp_{in} \cdot \lambda_c}{h_c \cdot \lambda_p} \cdot Cv_2(t), \\ -\frac{2 \cdot Rp_{in} \cdot \lambda_s}{h_s \cdot \lambda_p} \cdot Cn_1(t), & 1 - \frac{2 \cdot Rp_{in} \cdot \lambda_c}{h_c \cdot \lambda_p} \cdot Cn_2(t), \end{bmatrix} = \begin{bmatrix} TP_0 \\ TP_1 \end{bmatrix}, \quad (20)$$

где

$$TP_0 = T_n - VP \cdot Cv_1(t) - TR_e \cdot Cv_2(t) - TR_i \cdot Cv_1(t);$$

$$TP_1 = T_n - VP \cdot Cn_1(t) - TR_e \cdot Cn_2(t) - TR_i \cdot Cn_1(t);$$

$$VP = \frac{V_s \cdot f_{gr} \cdot P_{gr} \cdot 2 \cdot Rp_{in}}{\lambda_p};$$

$$TR_e = \frac{Tp(Rp_{ex}, t) \cdot 2 \cdot Rp_{in} \cdot \lambda_c}{h_c \cdot \lambda_p}; \quad TR_i = \frac{Tp(Rp_{in}, t) \cdot 2 \cdot Rp_{in} \cdot \lambda_s}{h_s \cdot \lambda_p}$$

$$Cv_1(t) = \sum_{k=1}^{\infty} \frac{C1_k(Rp_{in}) \cdot \theta_k(t)}{P_k \cdot \psi_k}; \quad Cv_2(t) = \sum_{k=1}^{\infty} \frac{C2_k(Rp_{in}) \cdot \theta_k(t)}{P_k \cdot \psi_k};$$

$$Cn_1(t) = \sum_{k=1}^{\infty} \frac{C1_k(Rp_{ex}) \cdot \theta_k(t)}{P_k \cdot \psi_k}; \quad Cn_2(t) = \sum_{k=1}^{\infty} \frac{C2_k(Rp_{ex}) \cdot \theta_k(t)}{P_k \cdot \psi_k};$$

$$\psi_k = 2 / P_k \cdot \psi 1_k - \psi 2_k.$$

Прежде чем воспользоваться полученными формулами для определения температуры в подшипнике, следует иметь соответствующие зависимости коэффициента трения  $f_{gr}$  от основных параметров в зоне контакта, а именно: температуры, давления и скорости скольжения.

Для полиуретана экспериментальные значения коэффициента трения  $f_e$  от температуры  $T_e$  приведены в таблице 1 (для контактного давления  $P_{gr} = 0,35$  МПа и скорости скольжения  $V = 0,4$  м/с).

Таблица 1

Зависимость коэффициента трения от температуры для полиуретана

$T_e, K$	293	303	313	323	333	343	353	363	373	383	393	403	413
$f_e$	0,85	0,94	1,02	1,08	1,13	1,18	1,19	1,2	1,16	1,1	1,04	0,97	0,9

Для того чтобы воспользоваться данными, приведенными в таблице 1, для расчета температурного поля следует выполнить аппроксимацию.

Порядок выполнения аппроксимации с использованием одной из встроенных в пакет Mathcad функций приведен в программном блоке САПР-2. Графики для экспериментальных и аппроксимируемых значений коэффициента трения приведены на рисунке 2.

Программный блок САПР-2

*Аппроксимация коэффициента трения*

$$T_e := (293 \ 303 \ 313 \ 323 \ 333 \ 343 \ 353 \ 363 \ 373 \ 383 \ 393 \ 403 \ 413)^T$$

$$f_e := (0.85 \ 0.94 \ 1.02 \ 1.08 \ 1.13 \ 1.18 \ 1.19 \ 1.2 \ 1.16 \ 1.1 \ 1.04 \ 0.97 \ 0.9)^T$$

$$fv := pspline(T_e, f_e) \quad T := 293K..413K \quad f(T) := int\ erp(fv, T_e, f_e, T)$$

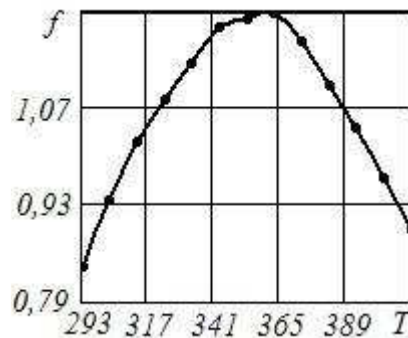


Рис. 2. Графики зависимости коэффициента трения от температуры:

- – график для экспериментальных значений ( $f_{e_i}$ );
- — — – график для аппроксимируемых значений ( $f(T)$ )

Расчет температурного поля во втулке подшипника, выполненного из полиуретана, с учетом граничных условий (2) и (3) и соотношения (20) приведен в программном блоке САПР-3. Объемный график распределения температуры, полученный из программного блока САПР-3, представлен на рисунке 3.

Программный блок САПР-3

*Расчет температурного поля во втулке подшипника, исходя из условий (2) и (3) и соотношения (20)*

$$h_c := 10mm \quad h_s := 2mm \quad R_{ec} := Rp_{ex} + h_c \quad R_{is} := Rp_{in} - h_s \quad T_n := 293K \quad T_{ec} := 293K \quad T_{is} := 293K$$

$$\rho_p := 1230 \cdot \frac{kg}{m^3} \quad C_p := 2.1 \cdot 10^3 \cdot \frac{J}{kg \cdot K} \quad \lambda_p := 0.305 \cdot \frac{W}{m \cdot K} \quad \lambda_c := 46.5 \cdot \frac{W}{m \cdot K} \quad \lambda_s := \lambda_c \quad im := 5$$

$$a_p := \frac{\lambda_p}{C_p \cdot \rho_p} \quad t_{max} := 578s \quad i := 0..im \quad dr := \frac{Rp_{ex} - Rp_{in}}{im} \quad r_i := Rp_{in} + dr \cdot i \quad jm := 18 \quad dt := \frac{t_{max}}{jm}$$

$$j := 0..jm \quad t_j := dt \cdot j \quad kk := 31 \quad k := 0..kk$$

$$\psi 1_k := YI(P_k \cdot Rp_{ei}) \cdot JI(P_k) - YI(P_k) \cdot JI(P_k \cdot Rp_{ei})$$

$$\psi 2_k := Rp_{ei} \cdot (YO(P_k \cdot Rp_{ei}) \cdot JI(P_k) - YI(P_k) \cdot JO(P_k \cdot Rp_{ei})) + YI(P_k \cdot Rp_{ei}) \cdot JO(P_k) - YO(P_k) \cdot JI(P_k \cdot Rp_{ei})$$

$$\psi_k := \frac{2}{P_k} \cdot \psi 1_k - \psi 2_k \quad Ct_k := \frac{a_p \cdot (P_k)^2}{Rp_{in}^2}$$

$$C1_{k,i} := \left( JI(P_k \cdot Rp_{ei}) \cdot YO\left(P_k \cdot \frac{r_i}{Rp_{in}}\right) - YI(P_k \cdot Rp_{ei}) \cdot JO\left(P_k \cdot P_k \cdot \frac{r_i}{Rp_{in}}\right) \right)$$

$$C2_{k,i} := \left( YI(P_k) \cdot JO \left( P_k \cdot \frac{r_i}{Rp_{in}} \right) - JI(P_k) \cdot YO \left( P_k \cdot \frac{r_i}{Rp_{in}} \right) \right)$$

$$\theta_{k,j} := \exp(-Ct_k \cdot t_j) + Ct_k \cdot t_j - 1 \quad F1_{i,j} := \sum_k \frac{C1_{k,j} \cdot \theta_{k,j}}{(P_k)^2 \cdot \psi_k} \quad F2_{i,j} := \sum_k \frac{C2_{k,j} \cdot \theta_{k,j}}{(P_k)^2 \cdot \psi_k}$$

$$P_{gr} := 0.35 \cdot 10^6 \cdot Pa \quad V_s := 0.4 \frac{m}{s} \quad R\lambda_c := \frac{2 \cdot Rp_{in} \cdot \lambda_c}{h_c \cdot \lambda_p} \quad R\lambda_s := \frac{2 \cdot Rp_{in} \cdot \lambda_s}{h_s \cdot \lambda_p} \quad K_{tr} := \frac{V_s \cdot P_{gr} \cdot 2 \cdot Rp_{in}}{\lambda_p}$$

```

T_p := | fgr_0 ← f(T_n · K-1)
      | for i ∈ 0..im
      |   Tp,i,0 ← T_n
      |   for j ∈ 1..jm
      |     Cv1 ← F10,j ⊕ KC2 ← F20,j ⊕ Cn1 ← F1im,j ⊕ Cn2 ← F2im,j
      |     M0,0 ← 1 - Rλs · Cv1 ⊕ M0,1 ← -Rλc · Cv2 ⊕ M1,0 ← -Rλs · Cn1
      |     M1,1 ← 1 - Rλc · Cn2 ⊕ Ftr,j-1 ← Ktr · fgrj-1
      |     TP0 ← T_n - Ftr,j-1 · Cv1 - Tec · Rλc · Cv2 - Tis · Rλs · Cv1
      |     TP1 ← T_n - Ftr,j-1 · Cn1 - Tec · Rλc · Cn2 - Tis · Rλs · Cn1
      |     Tgr ← lsolve(M, TP)
      |     T0j ← Tgr0 · K-1 ⊕ Timj ← Tgr1 · K-1
      |     fgrj ← f(T0j) ⊕ fv,j ←  $\frac{fgr_j + fgr_{j-1}}{2}$ 
      |     for i ∈ 0..10
      |       Tp,i,j ← T0j · K if i = 0
      |       Tp,i,j ← Timj · K if i = im
      |       Tp,i,j ← T_n - [Ktr · fgrj-1 - (T0j · K - Tis) · Rλs] · F1i,j...otherwise
      |       + (Timj · K - Tnc) · Rλc · F2i,j

```

$$T_1 := \max \left[ (T_p^T)^{(0)} \right] \quad T_2 := \max \left[ (T_p^T)^{(4)} \right] \quad T_1 = 298.417K \quad T_2 = 293K .$$

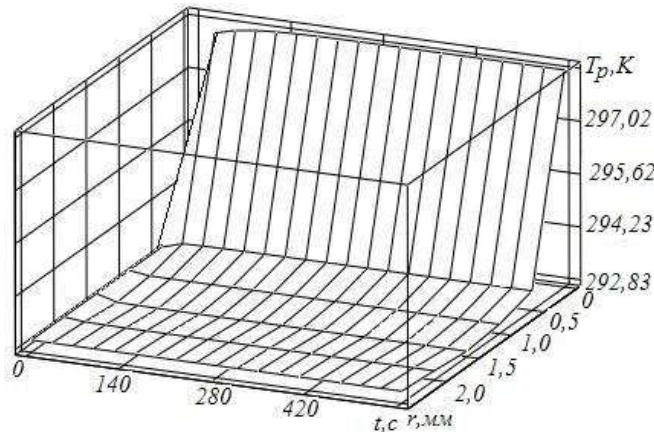


Рис. 3. Объемный график распределения температуры в теле втулки, изготовленной из полиуретана, с учетом граничных условий (2) и (3)



Вследствие того, что на границах втулки будут различные температурные условия, в результате будет возникать перепад температур, вызывающий появление температурных напряжений. Для данной геометрической конфигурации температурные напряжения можно рассчитать по формулам, соответственно для радиальных  $\sigma(r)$ , кольцевых  $\sigma(r)$  и осевых  $\sigma_z(r)$  напряжений [10]:

$$\sigma(r) = K\sigma \cdot \left[ \begin{array}{l} Rp_{in}^2 \cdot \ln(Rp_{ir}) - Rp_{ex}^2 \cdot \ln(Rp_{er}) + \\ + Rp_{ex}^2 \cdot Rp_{in}^2 \cdot r^{-2} \cdot \ln(Rp_{ei}) \end{array} \right]; \quad (21)$$

$$\sigma(r) = K\sigma \cdot \left[ \begin{array}{l} Rp_{ex}^2 \cdot \ln(1 - Rp_{er}) - Rp_{in}^2 \cdot \ln(1 - Rp_{ir}) - \\ - Rp_{ex}^2 \cdot Rp_{in}^2 \cdot r^{-2} \cdot \ln(Rp_{ei}) \end{array} \right]; \quad (22)$$

$$\sigma_z(r) = K\sigma \cdot \left[ Rp_{ex}^2 \cdot \ln(1 - 2 \cdot Rp_{er}) - Rp_{in}^2 \cdot \ln(1 - 2 \cdot Rp_{ir}) \right]. \quad (23)$$

Комплекс  $K\sigma$  имеет вид:

$$K\sigma = \frac{\alpha \cdot E \cdot (T_1 - T_2)}{2 \cdot (1 - \nu) \cdot (Rp_{ex}^2 - Rp_{in}^2) \cdot \ln(Rp_{ei})}, \quad (24)$$

где  $\alpha$  – коэффициент линейного расширения;  $E$  – модуль упругости;  $\nu$  – коэффициент Пуассона;  $T_1 = Tr(Rp_{in})$ ;  $T_2 = Tr(Rp_{ex})$ .

Втулки подшипников скольжения в большинстве случаев изготавливают из полимерных материалов, которые являются вязкоупругими материалами, что следует учитывать при расчетах напряженно-деформированного состояния элементов из полимерных материалов и их композитов. При этом существуют несколько методов, учитывающих явления ползучести и релаксации при определении напряжений и деформаций в элементах под воздействием силовых, температурных и других энергетических полей. Одни методы основаны на изначальном использовании вязкоупругих моделей [11-13], а другие – базируются на использовании упругих решений с переходом к вязкоупругому обобщению [14-16].

Используя упругое решение температурной задачи в виде системы (21) – (23) с учетом (24), перейдем к вязкоупругому решению, принимая положения из [14]. При этом следует в первую очередь подчеркнуть, что переход от упругого решения к вязкоупругому опять же связан с интегральным преобразованием Лапласа, а также с его модификацией – интегральным преобразованием Лапласа-Карсона. При этом одной из основных теорем из операционного исчисления является теорема умножения, представленная уравнением (9).

При переходе от упругого решения к вязкоупругому, после соответствующих преобразований появляется функция, получившая название связанной ползучести и зависящая от параметра  $\zeta$ , значение которой может быть разным. Аналитически данная функция записывается таким образом:

$$Z_\zeta = \frac{1}{1 + \zeta \cdot \omega}. \quad (25)$$

Во многих случаях значение  $\zeta$  составляет 0,5 и 2.

Параметр  $\omega$  через коэффициент Пуассона записывается так:

$$\omega = \frac{1 - 2\nu}{1 + \nu}. \quad (26)$$

При моделировании сложного напряженного состояния зачастую недостаточно иметь значение только модуля упругости Юнга  $E$ , но и следует знать модуль сдвига  $G$  и объемный модуль  $B$ . Данные величины связаны между собой такими выражениями:

$$\left. \begin{aligned} G &= \frac{E}{2 \cdot (1 + \nu)}, \\ B &= \frac{E}{3 \cdot (1 - 2 \cdot \nu)}. \end{aligned} \right\} \quad (27)$$

С учетом последних выражений запишем соотношение для величины  $\omega$ , а также ее изображение после преобразования Лапласа-Карсона, принимая условие независимости объемного модуля  $B$  от времени:

$$\omega = \frac{2G}{3B} \leftrightarrow \frac{2G^{LK}}{3B} = \frac{R_c^{LK}}{3B}, \quad (28)$$

где  $R_c^{LK}$  – изображение по Лапласу-Карсону функции сдвиговой релаксации.

В выражении (24) имеется один комплекс, который следует преобразовать при переходе от упругого решения к вязкоупругому, а именно:  $E/(1-\nu)$ . Выполнив замену данного комплекса через параметр  $\omega$ , а также осуществив прямое и обратное преобразования, получаем:

$$\begin{aligned} \frac{E}{(1-\nu)} &= \frac{9 \cdot B \cdot \omega}{2 + \omega} \cdot \frac{2 + \omega}{1 + 2 \cdot \omega} = \frac{9 \cdot B}{2} \cdot \left( 1 - \frac{1}{1 + 2 \cdot \omega} \right) \leftrightarrow \\ &\leftrightarrow \frac{9 \cdot B}{2} \cdot (1 - Z_2^{LK}) \leftrightarrow \frac{9 \cdot B}{2} \cdot [1 - Z_2(t)] \end{aligned} \quad (29)$$

Если в первом приближении взять среднее значение величины  $(1-\nu) = \nu_c$  и считать ее константой, тогда вместо преобразования (29) можно записать такое соотношение:

$$\begin{aligned} \frac{E}{\nu_c} &= \frac{9 \cdot B \cdot \omega}{2 + \omega} \cdot \frac{1}{\nu_c} = \frac{9 \cdot B}{\nu_c} \cdot \left( 1 - \frac{1}{1 + \omega/2} \right) \leftrightarrow \\ &\leftrightarrow \frac{9 \cdot B}{\nu_c} \cdot (1 - Z_{1/2}^{LK}) \leftrightarrow \frac{9 \cdot B}{\nu_c} \cdot [1 - Z_{1/2}(t)] \end{aligned} \quad (30)$$

Необходимо отметить, что при значениях аргумента  $\zeta \leq 0,5$ , функцию  $Z_\zeta$  можно представить так:

$$Z_\zeta(t) = 1 - \zeta \cdot \omega. \quad (31)$$

В таком случае вместо функции ползучести можно записать выражение через коэффициент Пуассона, если он известен. При этом для вязкоупругих задач коэффициент Пуассона должен быть представлен функциональной зависимостью от времени.

С учетом соотношений (26), (30) и (31), а также зависимости коэффициента Пуассона от времени, уравнения (21) – (24) переписутся таким образом:

$$\sigma(r, t) = K\sigma(t) \cdot \left[ \frac{Rp_{in}^2 \cdot \ln(Rp_{ir}) - Rp_{ex}^2 \cdot \ln(Rp_{er}) +}{+ Rp_{ex}^2 \cdot Rp_{in}^2 \cdot r^{-2} \cdot \ln(Rp_{ei})} \right]; \quad (32)$$

$$\sigma(r, t) = K\sigma(t) \cdot \left[ \frac{Rp_{ex}^2 \cdot \ln(1 - Rp_{er}) - Rp_{in}^2 \cdot \ln(1 - Rp_{ir}) -}{- Rp_{ex}^2 \cdot Rp_{in}^2 \cdot r^{-2} \cdot \ln(Rp_{ei})} \right]; \quad (33)$$

$$\sigma_z(r, t) = K\sigma(t) \cdot [Rp_{ex}^2 \cdot \ln(1 - 2 \cdot Rp_{er}) - Rp_{in}^2 \cdot \ln(1 - 2 \cdot Rp_{ir})]; \quad (34)$$

$$K\sigma(t) = \frac{\alpha \cdot 9 \cdot B \cdot (T_1 - T_2)}{4 \cdot \nu_c \cdot (Rp_{ex}^2 - Rp_{in}^2) \cdot \ln(Rp_{ei})} \cdot \frac{1 - 2\nu}{1 + \nu}. \quad (35)$$

Для определения экспериментальных значений коэффициента Пуассона  $\nu_e$  проведены замеры продольной  $\varepsilon_x$  и поперечной  $\varepsilon_y$  деформаций во времени  $t_e$ . Результаты экспериментов следующие:  $\varepsilon_x = (0,119; 0,2381; 0,3571; 0,4762; 0,5952; 0,7143; 0,8334; 0,9524; 1,0714; 1,1905; 1,3095; 1,4286; 1,5476; 1,6667; 1,7857; 1,9048; 2,0238)$ ;  $\varepsilon_y =$

(0,053; 0,086; 0,1241; 0,1442; 0,1606; 0,1788; 0,1898; 0,2001; 0,2135; 0,2226; 0,2299; 0,239; 0,250; 0,2573; 0,2646; 0,2737; 0,2792);  $t_e = (34; 68; 102; 136; 170; 204; 238; 272; 306; 340; 374; 408; 442; 476; 510; 544; 578)$  с.

Порядок выполнения аппроксимации коэффициента Пуассона приведен в программном блоке САПР-4. Графики для экспериментальных и аппроксимируемых значений коэффициента Пуассона приведены на рисунке 4.

Программный блок САПР-4

Аппроксимация коэффициента Пуассона

$$\begin{matrix}
 t1_e := & \begin{pmatrix} 34 \\ 68 \\ 102 \\ 136 \\ 170 \\ 204 \\ 238 \\ 272 \\ 306 \end{pmatrix} & t2_e := & \begin{pmatrix} 340 \\ 374 \\ 408 \\ 442 \\ 476 \\ 510 \\ 544 \\ 578 \end{pmatrix} & \varepsilon1_x := & \begin{pmatrix} 0.119 \\ 0.2381 \\ 0.3571 \\ 0.4762 \\ 0.5952 \\ 0.7143 \\ 0.8334 \\ 0.9524 \\ 1.0714 \end{pmatrix} & \varepsilon2_x := & \begin{pmatrix} 1.1905 \\ 1.3095 \\ 1.4286 \\ 1.5476 \\ 1.6667 \\ 1.7857 \\ 1.9048 \\ 2.0238 \end{pmatrix} & \varepsilon1_y := & \begin{pmatrix} 0.053 \\ 0.086 \\ 0.1241 \\ 0.1442 \\ 0.1606 \\ 0.1788 \\ 0.1898 \\ 0.2001 \\ 0.2135 \end{pmatrix} & \varepsilon2_y := & \begin{pmatrix} 0.2226 \\ 0.2299 \\ 0.239 \\ 0.250 \\ 0.2573 \\ 0.2646 \\ 0.2737 \\ 0.2792 \end{pmatrix}
 \end{matrix}$$

$$\varepsilon_x := \text{stack}(\varepsilon1_x, \varepsilon2_x) \quad \varepsilon_y := \text{stack}(\varepsilon1_y, \varepsilon2_y)$$

$$t_e := \text{stack}(t1_e, t2_e) \quad v_e := \frac{\varepsilon_y}{\varepsilon_x} \quad t := 34, 38..578$$

$$ij := 0..16 \quad fv := \text{regress}(t_e, v_e, 2) \quad vI(t) := \text{int erp}(fv, t_e, v_e, t)$$

$$t1_j := 34 \cdot (1 + j) \quad v_j := vI(t1_j) \quad v_c := \text{mean}(v) \quad v_c = 0.222$$

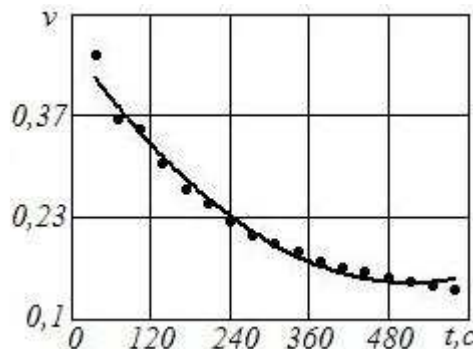


Рис. 4. Графики зависимости коэффициента Пуассона от температуры:

- – график для экспериментальных значений ( $v_e$ );
- — график для аппроксимируемых значений ( $v_j$ )

Порядок выполнения расчетов температурных напряжений для упругой и вязкоупругой задач приведен в программном блоке САПР-5. Плоские графики изменения напряжений для упругой задачи приведены на рисунке 5. Объемные графики изменения напряжений для вязкоупругой задачи изображены на рисунке 6.

Программный блок САПР-5

Расчет температурных напряжений

$$\alpha := 9.5 \cdot 10^{-5} \cdot K^{-1} \quad E := 200 \cdot 10^6 \cdot Pa$$

$$im := 10 \quad i := 0..im \quad dr := \frac{Rp_{ex} - Rp_{in}}{im}$$

$$r_i := Rp_{in} + dr \cdot i$$

$$Rr_i := Rp_{ex}^2 \cdot Rp_{in}^2 \cdot (r_i)^{-2} \cdot \ln(Rp_{ei})$$

$$Lni_i := \ln\left(\frac{Rp_{in}}{r_i}\right) \quad Lne_i := \ln\left(\frac{Rp_{ex}}{r_i}\right)$$

Упругая задача

$$K_{TR} := \frac{\alpha \cdot E \cdot (T_1 - T_2)}{2 \cdot (1 - \nu_c) \cdot (Rp_{ex}^2 - Rp_{in}^2) \cdot \ln(Rp_{ei})}$$

$$\sigma_i := K_{TR} \cdot (Rp_{in}^2 \cdot Lni_i - Rp_{ex}^2 \cdot Lne_i + Rr_i)$$

$$\sigma_{z_i} := K_{TR} \cdot [Rp_{ex}^2 \cdot (1 - Lne_i) - Rp_{in}^2 \cdot (1 - Lni_i) - Rr_i]$$

$$\sigma_{z_i} := K_{TR} \cdot [Rp_{ex}^2 \cdot (1 - 2 \cdot Lne_i) - Rp_{in}^2 \cdot (1 - 2 \cdot Lni_i)]$$

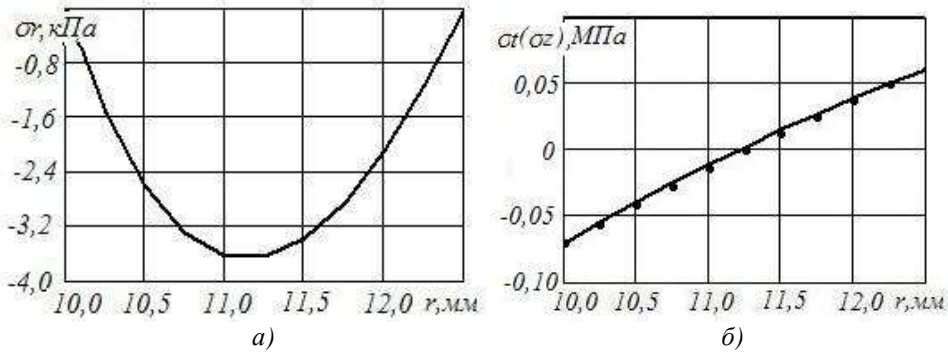


Рис. 5. Плоские графики изменения напряжений для упругой задачи с учетом распределения температур по рисунку 3:

а – радиальные напряжения; б – кольцевые (—) и осевые (•••) напряжения

Вязкоупругая задача

$$B := 122.9 \cdot 10^6 \cdot Pa$$

$$K\sigma_j := \frac{\alpha \cdot 9 \cdot B \cdot (T_1 - T_2)}{4 \cdot \nu_c \cdot (Rp_{ex}^2 - Rp_{in}^2) \cdot \ln(Rp_{ei})} \cdot \frac{1 - 2 \cdot \nu_j}{1 + \nu_j}$$

$$\sigma_{i,j} := K\sigma_j \cdot (Rp_{in}^2 \cdot Lni_i - Rp_{ex}^2 \cdot Lne_i + Rr_i)$$

$$\sigma_{z_{i,j}} := K\sigma_j \cdot [Rp_{ex}^2 \cdot (1 - Lne_i) - Rp_{in}^2 \cdot (1 - Lni_i) - Rr_i]$$

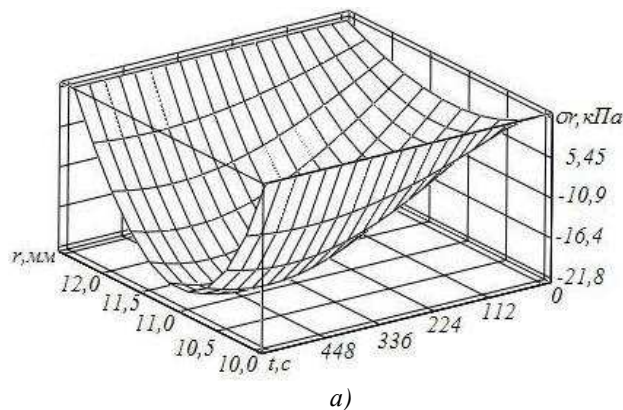
$$\sigma_{z_{i,j}} := K\sigma_j \cdot [Rp_{ex}^2 \cdot (1 - 2 \cdot Lne_i) - Rp_{in}^2 \cdot (1 - 2 \cdot Lni_i)]$$

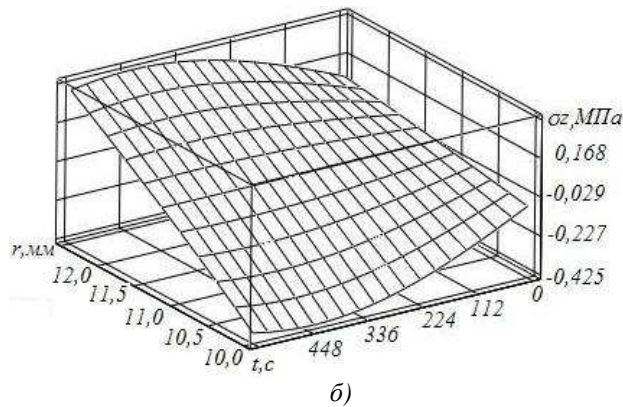
$$\sigma_{z_{0,0}} = -8.192 \times 10^4 Pa \quad \sigma_{z_{im,im}} = 3.371 \times 10^5 Pa$$

$$\max(\sigma_z) = 3.663 \times 10^5 Pa$$

$$\min(\sigma_z) = -4.249 \times 10^5 Pa$$

$$\min(\sigma_r) = -2.182 \times 10^4 Pa$$





б)  
 Рис. 6. Объемные графики изменения напряжений для вязкоупругой задачи с учетом распределения температур по рисунку 3:  
 а – радиальные напряжения; б – осевые напряжения

При выполнении граничных условий (2а) и (3а) температурный режим значительно ухудшается. При этом возрастает перепад температур, что в свою очередь приводит к увеличению температурных напряжений. На рисунке 7 представлен объемный график распределения температур при условии, когда от зоны раздела отводится 90 % тепла, полученного от работы трения (скорость скольжения и давление приняты такими же, как и для рис. 3, а время составляет всего 3 с).

Как видно из рис. 7, даже при отводе 90 % тепла из зоны контакта, на границе раздела в течении трех секунд температура достигает 493 К, что может привести к термодеструкции.

На рисунке 8 приведены графики для температурных напряжений, полученные с учетом перепада температур по рисунку 7. При этом следует отметить значительный рост всех компонентов напряжений.

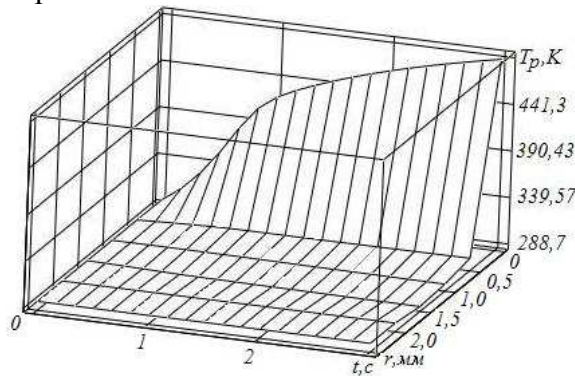


Рис. 7. Объемный график распределения температуры в теле втулки, изготовленной из полиуретана, с учетом граничных условий (2а) и (3а)

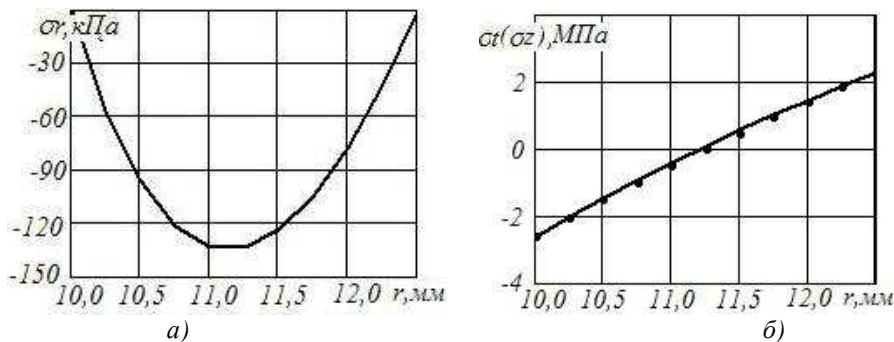


Рис. 8. Плоские графики изменения напряжений для упругой задачи с учетом распределения температур по рисунку 7:  
 а – радиальные напряжения; б – кольцевые (—) и осевые (•••) напряжения

**Выводы.**

1. Получены математические модели для анализа распределения температурного поля во втулке (вкладыше) подшипников скольжения, как при наличии охлаждающего отверстия вдоль оси вала, так и без него.

2. Получены математические модели для расчета температурных напряжений с учетом вязкоупругих свойств материала.

3. Разработаны программные блоки на базе математического пакета Mathcad для моделирования температурных полей и температурных напряжений.

4. Результаты, приведенные в программных блоках, показывают, что при определенных соотношениях геометрических и технологических параметров, в соответствии с характеристиками материала, могут возникать значительные температурные поля в зоне контакта втулки с валом, что может явиться причиной термомеханической деструкции. Полученные математические модели позволяют оптимизировать условия эксплуатации подшипников скольжения.

**Список использованных источников**

1. Лыков В. А. Теория теплопроводности / В. А. Лыков. – М.: Высш. шк., 1967. – 599 с.
2. Кузяев И. М. Моделирование работы та проектування екструзійних агрегатів з розробкою елементів САПР / И. М. Кузяев. – Днепропетровск: ДВНЗ УДХТУ, 2008. – 474 с.
3. Кузяев И. М. Моделирование работы и проектирование экструзионных агрегатов с разработкой блоков САПР. Червячные прессы / И. М. Кузяев, А. Д. Петухов. – Днепропетровск: ГВУЗ УГХТУ, 2012. – 413 с.
4. Кузяев И. М. Механіка та реологія полімерів: навч. посіб. [для студ. вищ. навч. закл.] / И. М. Кузяев. – Днепропетровск: УДХТУ, 2002. – 386 с.
5. Кузяев И. М. Анализ температурных процессов в подшипниках скольжения с учетом трения / И. М. Кузяев, В. Н. Анисимов // Проблемы трибологии (Problems of Tribology). – 2012. – № 1. – С. 27-40.
6. Лаврентьев М. А. Методы теории функций комплексного переменного / М. А. Лаврентьев, Б. В. Шабат. – М.: Наука, 1973. – 736 с.
7. Диткин В. А. Интегральные преобразования и операционное исчисление / В. А. Диткин, А. П. Прудников. – М.: Наука, 1974. – 544 с.
8. Кузяев И. М. Основи математичного моделювання процесів по переробці полімерних матеріалів: навчальний посібник / И. М. Кузяев, О. Н. Півень, В. П. Місяць. – Днепропетровск: ДВНЗ УДХТУ, 2012. – 283 с.
9. Камке Э. Справочник по обыкновенным дифференциальным уравнениям: пер. с нем. С. Ф. Фомина / Э. Камке. – М.: Наука, 1976. – 576 с.
10. Кантарович З. Б. Основы расчета химических машин и аппаратов / З. Б. Кантарович. – М.: ГНТИМЛ, 1960. – 743 с.
11. Виноградов Г. В. Реология полимеров / Г. В. Виноградов, А. Я. Малкин. – М.: Химия, 1977. – 440 с.
12. Кристенсен Р. Введение в теорию вязкоупругости: пер. с англ. / Р. Кристенсен; под ред. Г. С. Шапиро. – М.: Мир, 1974. – 338 с.
13. Колтунов М. А. Ползучесть и релаксация / М. А. Колтунов. – М.: Высшая школа, 1976. – 277 с.
14. Колтунов М. А. Прочностные расчеты изделий из полимерных материалов / М. А. Колтунов, В. П. Майборода, В. Г. Зубчанинов. – М.: Машиностроение, 1983. – 239 с.
15. Кузяев И. М. Расчет давления в зоне контакта жесткой сферы с вязкоупругой средой / И. М. Кузяев, А. И. Буря // Проблемы трибологии. – 2011. – № 1. – С. 136-141.
16. Буря А. И. Анализ деформированно-напряженного состояния при скольжении жесткого тела со сферической поверхностью контакта по наклонной поверхности вязкоупругой среды / А. И. Буря, И. М. Кузяев, М. Е. Казаков [и др.] // Труды 8-го Междунар. симпозиума по фрикционным изделиям и материалам. ЯРОФРИ-2010. – 2010. – С. 23-28.